

NORSK INSTITUTT FOR VANNFORSKNING  
BLINDERN.

O. - 229

Undersøkelse av Glommas nedre løp  
som resipient for  
industrielt avfallsvann.

Saksbehandler: cand.real. B. Bergmann-Paulsen.  
Rapporten avsluttet 11. januar 1961.

INNHOLD.

INNLEDNING .....	side	4
UTSLIPPSVANNET .....	"	4
GLOMMAS NEDRE LØP .....	"	5
BUNNFORHOLD .....	"	5
VANNFØRING .....	"	6
PROBLEMER I FORBINDELSE MED UTSLIPPET ....	"	6
UNDERSØKELSER .....	"	7
FELTMÄLLINGER .....	"	7
LABORATORIEUNDERSØKELSER .....	"	8
DISKUSJON .....	"	10
SAMMENDRAG .....	"	14
KONKLUSJON .....	"	15.

## TABELLER:

Tabel 1. Avfallsvannets sammensetning .....	side	4
" 2. Vannføringen i Glomma .....	"	6
" 3. Plassering av stasjonene .....	"	7
" 4. Nødvendige fortynninger m.h.t. pH .....	"	11
" 5. Salinitetens avhengighet av vannføringen ..	"	12
" 6. Prosentvis sjøvannsinnblanding 10/8-60 ...	"	16
" 7. - " - - " - 6/9-7/9-60 ...	"	17
" 8. - " - - " - 9/11-10/11-60	"	18
" 9. Strømhastigheter ved St.2, 10/11-60 .....	"	19
" 10. Analyser, St.2, 10/8-60 .....	"	20
" 11. - " - " 1 7/9-60 .....	"	21
" 12. - " - " 26 7/9-60 .....	"	22
" 13. - " - " 2 10/11-60 .....	"	23
" 14. Prøver med syntetisk avfallsvann uten slam, vann fra Glomma .....	"	24
" 15. Prøver med syntetisk avfallsvann, med slam, vann fra Glomma .....	"	24
" 16. Prøver med syntetisk avfallsvann med slam, springvann.....	"	24

## BILAG:

Bilag 1. Skisse over Glommens nedre løp og det utenfor- liggende fjordbasseng .....	"	25
" 2. Prosentvis sjøvannsinnblanding 9/8-10/8-60	"	26
" 3. - " - - " - 6/9- 7/9-60	"	27
" 4. - " - - " - 9/11-10/11-60	"	28
" 5. Strømhastigheter ved St. 2, 10/11-60 ....	"	29
" 6. Titrerkurve for vann fra St.2, 1, 25, 4 og 8 meters dyp, 10/8-60.....	"	30.

## INNLEDNING.

Den 22. juli 1960 sendte Titan Co A/S en søknad til Norges Vassdrags- og Elektrisitetsvesen om tillatelse til å foreta utslipp av industrielt avfallsvann i Glomma ved Fredrikstad.

Utslippet skulle komme fra en prosjektert fabrikk for fremstilling av titandioksyd fra ilmenitt. Den nødvendige svovelsyre skal produseres på stedet. Kapasiteten for fabrikken er beregnet til ca. 45 tonn titandioksyd og 180 tonn 100%-ig svovelsyre pr. døgn.

Anlegget er tenkt plassert på øra ved Fredrikstad, syd for Titan C nåværende bedriftsområde (se skisse over området, bilag 1 s.25)

Samtidig med at den ovennevnte søknad ble sendt, henvendte Titan Co A/S seg til Norsk institutt for vannforskning for å få undersøkt avfallsvannets innvirkning på recipienten.

## UTSLIPPSVANNET.

Ved full produksjon i fabrikken vil det pr. sekund bli sluppet ut ca. 200 liter avfallsvann med følgende omtrentlige sammensetning:

232

Tabell 1.

	%	ppm.
H <sub>2</sub> SO <sub>4</sub>	0,5 (0,9)	5000 901
FeSO <sub>4</sub>	0,5 (0,2)	5000 20
Slam (uløst)	0,05	500
TiO <sub>2</sub>	0,015	150
MgO	0,03	300
CaO	0,00013	1,3
MgO	0,001	10
pH	: 1,3 - 1,5	
Spesifikk vekt	:	1,01
Temperatur	:	30° C

Slammet har en spesifikk vekt på ca. 2,5 og består bl.a av ca. 30% TiO<sub>2</sub>, 30% SiO<sub>2</sub> og 30% FeO. Kornstørrelse 0 - 44 µ.

Som følge av prosessens utformning vil avfallsvannets mengde og sammensetning holde seg ganske konstant døgnet rundt, selv om enkelte variasjoner må ventes å forekomme.

#### GLOMMAS NEDRE LOPP.

(Se kartskisse, bilag 1, s.25).

Nedenfor Fredrikstad bru har Glomma et løp i sydvestlig retning. Ved Kongsten festning deler den seg i to: Vesterelva bøyer av nordvestover, og Østerelva som et stykke fortsetter i Glommass opprinnelige retning og som fører den overveiende del av vannmassen.

Langs Fuglevik bøyer Østerelva av. slik at den i utvidelsen nedenfor har en ren sørlig retning. Mellom Kaldera og Øra passerer elven en innsnevring før den munner ut i fjorden.

Området hvor en elv går over i et fjordbasseng og ferskvannet blandes opp med sjøvann, kalles et estuarområde. Dette kan være meget begrenset, men har ofte en utstrekning på flere kilometer. Tykkelsen på overflatelaget, ferskvannet, avtar her utover, etter hvert som blandingen med sjøvann finner sted.

For Glommass vedkommende er estuarområdet meget langstrakt. Langs bunnen i dens nedre løp er det normalt et sjøvannssjikt, som ved enkelte tilfelle kan strekke seg helt opp til Sarpsborg og inn i Visterflo.

Utover i skjærgårdsbassengene innenfor Hvaler, består overflatelaget i stor utstrekning av brakkvann.

#### BUNNFORHOLD.

(Se bilag 2, s.26).

Fra Fredrikstad bru og ned til kanalen ved Isegran har elva en dybde omkring 20 m. Videre nedover mot Fuglevikstranden er dybden ca. 15 m. Nedenfor dette sted stiger bunnen opp til et platå på ca. 10 m dybde. Dette platå strekker seg videre langs Østerelva og ut i fjorden til 4-500 m syd for Alshus, hvoretter dybden igjen tiltar, samtidig som elveløpet går over i skjærgårdsbassengene. For å holde et dyp på ca. 10 m langs platået, må elva stadig mudre:

## VANNFØRING.

Fra Vassdragsvesenet, Hydrologisk avdeling, er det oppgitt følgende vannføringstall:

Tabell 2.

	Middel:	Minste månedsmiddel:
Jan.	390 m <sup>3</sup> /s	321 m <sup>3</sup> /s
Febr.	380 "	325 "
Mars	366 "	286 "
April	471 "	309 "
Mai	1.150 "	673 "
Juni	1.131 "	865 "
Juli	1.105 "	620 "
Aug.	961	422 "
Sept.	863	342 "
Okt.	579	288 "
Nov.	491	360 "
Des.	416	335 "

Disse tall er basert på målinger ved Langnes vannmerke i perioden 1950 - 59. Nedslagsfeltet nedenfor Langnes er ikke tatt i betraktning.

## PROBLEMER I FORBINDELSE MED UTSLIPPET.

Av hensyn til avfallsvannets virkninger på resipienten og dens omgivelser, er det hensiktsmessig å dele problemet i tre:

a. utslipp av syre:

Med avfallsvannet vil det følge store mengder svovelsyre. Det måtte derfor vurderes hvilke surhetsgrader resipienten ville få ved forskjellige fortynninger, og om det ville bli såvidt surt miljø at skadefirkninger kunne oppstå.

b. utslipp av jern-II-sulfat:

Avfallsvannet har et høyt innhold av løste salter, spesielt jern-II-sulfat. Undersøkelsen omfatter også forsok på å finne hvordan jern-II sulfatet ville reagere i resipienten.

c. resipientens utseende:

Dette omfatter de rent estetiske sider ved utslippet, som farge og turbiditet.

## UNDERSØKELSER.

Det ble foretatt undersøkelser ved 11 stasjoner i Glomma. De strakk seg fra Fredrikstad bru, langs Østerelva og et stykke ut i fjorden. (se bilag 1 og 2, s. 25 og 26).

Plasseringen av stasjonene regnet fra Fredrikstad bru og utover:

Tabell 3.

Stasjon:	Dyp:	Avstand fra Fredrikstad bru:	Beskrivelse:
21	22,5 m	0 km	Under Fredrikstad bru.
23	19,0 "	1,00 "	Ved Isegran fyrlykt.
24	15,5 "	1,82 "	Mellom Fredrikstad og Vaterland.
25	11,3 "	2,32 "	Rett ut for sondre del av Lilleborg
1	10,0 "	2,57 "	Rett ut for Titan Co A/S
26	9,9 "	2,92 "	Rett ut for midten av tilbuddt tomt.
2	9,7 "	3,24 "	Rett ut for bukt nord for Øra fabri
3	11,6 "	2,69 "	Rett ut for Kaldera, Overrettmerker
27	9,2 "	4,00 "	Rett ut for Kalderabukten.
4	9,4 "	4,57 "	Rett ut for Alshus fyrlykt.
5	26,0 "	5,38 "	Ca. 500 m nord for Flyndregrunnen.

Stasjonene ble plassert over dypålen.

Undersøkelsene omfattet tre situasjoner i Glomma:

9.og 10.aug. 1960, Vannføring:  $925 \text{ m}^3/\text{s}$  og  $890 \text{ m}^3/\text{s}$   
 6.og 7. sept. " , "  $674 \text{ m}^3/\text{s}$  begge dager,  
 9.og 10. nov. " , "  $576 \text{ m}^3/\text{s}$  og  $540 \text{ m}^3/\text{s}$ .

Vannføringen er oppgitt av Lastfordelingen, Hafslund.

## FELTMÅLINGER.

Under de tre situasjonene ble vannets elektrolytiske ledningsevne hver gang målt i de forskjellige dyp. Ledningsevnen er et mål for mengden av elektrolyter som er løst i vannet.

Ut fra ledningsevnen ble sjøvannsinnblanding i ellevannet beregnet i vertikale snitt ved stasjonene. Resultatene er satt opp i tabeller 6, 7 og 8(s.16-18). I bilagene 2, 3 og 4(s.26-28), er det tegnet inn

isolinjer for prosentvis sjøvannsinnblanding over elvas bunnprofil.  
Med 100% sjøvann er her regnet vann med salinitet: 30<sup>o</sup>/oo.

Den 10. nov. ble strømhastigheten i elven målt i et vertikalt snitt ved st. 2. Resultatene er satt opp i en kurve i bilag 5 (s.29).

Overflatestrommen var meget hurtig (125 cm/s). Hastigheten avtok raskt med dybden. I et sjikt mellom 4,1 og 4,6 m dyp, var hastigheten ikke lenger målbar.

Ved større dyp ble hastighetene igjen målbarer, opp til 33 cm/s. Strømmen var nå rettet nordover mot Glommas løpsretning.

Dette ble bekreftet ved å sende ned en froskemann. Han bekreftet at det var et sjikt på ca. 0,5 m tykkelse hvor det ikke var noen fast strømretning, men bare turbulenser. Strømhastigheten ble målt med et "flügel", konstruksjon Ott.

## LABORATORIEUNDERSØKELSER.

Følgende målinger og analyser ble utført på vannprøver fra Glomma:

pH vannets surhetsgrad.

$\chi_{20}$ : vannets elektrolytiske ledningsevne ved  $20^{\circ}\text{C}$ .

Salinitet: mengde salter løst i vannet uttrykt i promille, beregnet ut fra klorinnholdet, som bestemmes ved titrering med sølvnitrat etter Mohrs metode.

Alkalinitet: vannet titreres med en standardløsning av saltsyre til pH = ca. 4,5. Resultatet angis i ml n/10 HCl pr. 1 vann.

Farge: måles i et absorptiometer mot standarder fremstilt av løsninger av  $K_2PtCl_6$  og  $CoCl_2$ . Fargen angis i  $^{\circ}H$  = grader etter Hazens skala.  
 $1^{\circ}H = 1 \text{ mg Pt}/1.$

Turbiditet: et mål for vannets opaløserende virkning, måles i fotometer mot standarder av  $\text{SiO}_2$ -opplosninger  
Resultatet angis i mg  $\text{SiO}_2$  pl.

Resultatet av undersøkelsene står oppført i tabellene 10, 11, 12 og 13. (s. 20 - 23).

#### ANDRE UNDERSØKELSER.

Vann fra stasjon 2 (10/8-60) i dybdene 1 m, 2,5 m, 4 m og 8 m ble titrert med saltsyre, og pH målt under titreringen. Resultatene er satt opp med pH som funksjon av antall ml n/10 HCl tilsatt pr. 1 vann, i bilag 6, (s. 30).

På grunnlag av de oppgitte data (s. 4) ble det fremstilt et syntetisk avfallsvann. Sammensetningen var:

$\text{FeSO}_4 \cdot 7\text{H}_2\text{O}$	:	45,812 g
$\text{Ti}_2(\text{SO}_4)_3$	:	1,804 "
$\text{MgSO}_4 \cdot 7\text{H}_2\text{O}$	:	9,156 "
$\text{CaCO}_3$	:	0,012 "
$\text{MnSO}_4 \cdot \text{H}_2\text{O}$	:	0,120 "
$\text{H}_2\text{SO}_4 \cdot \text{sp.v.}$	1,84	13,7 ml

Disse kjemikalier ble løst i vann til 5 l. I dette "avfallsvann" var slammet ikke tatt med. Avfallsvannet ble blandet med vann fra st. 26 7/9-60 fra 3 og 6 m dyp i forholdene:

1/50 - 1/100 - 1/200 - 1/500 - 1/1000.

Det ble dessuten tatt prøver av de ublandede vannprøver, og av det syntetiske avfallsvann. Etter blandingen ble pH og farge målt. Dette ble også målt etter henstand i 4 timer og etter 2 døgn. Resultatene er ført opp i tabell 14. (s. 24).

Vannprøver fra stasjon 26, 7/9-60 ble filtrert, og blandet med syntetisk avfallsvann som nå var tilsatt slammet. Turbiditeten ble målt for forskjellige fortynninger. Resultatene står i tabell 15. (s. 24).

Dessuten ble avfallsvann med slam fortynnet med springvann i forholdene fra 1:10 til 1:1000, og turbiditeten målt (tabell 16 s. 24).

Slammet ble levert fra Titan Co A/S. Sammensestningene var som beskrevet s. 4.

#### DISKUSJON.

##### a. Utslipp av syre.

Undersokelsen av sjøvannsinnblandingen i de strømmende vannmasser i Glommas nedre løp er utslagsgivende for å bedømme virkningen av et syreutslipp.

Sjøvann er en kraftig bikarbonatbuffer. Det vil si at tilsetting av en moderat mengde syre ikke forandrer surhetsgraden vesentlig. I Glommas nedre løp ble det under de tre situasjonene undersøkelsene omfattet, funnet et sjøvannssjikt langs bunnen. Dette beror på at sjøvann har en større spesifik vekt ( $1,025 - 1,030$ ) enn ferskvann ( $1,00$ ), det kan derfor trenge seg inn under det lettere elvevannet.

På grunnlag av de forskjellige hastigheter i de horisontale lag i elven, vil turbulenser etc. bevirke at elvevannet hele tiden riber med seg noe av sjøvannet og omvendt. Så lenge det er sjøvannslag langs bunnen, vil saliniteten av elvevannet derfor øke mot dypet, og med avtagende avstand til fjorden.

Det sjøvann som på denne måte føres tilbake til fjorden, kompenseres med en sjøvannsstrem oppover langs bunnen. Det lag som ikke har noen horizontal hastighetskomponent blir liggende i et brakkvannssjikt. Tykkelsen av sjøvannssjiktet varierer noe med vannføringen, men selv med vannføringer over  $900 \text{ m}^3/\text{s}$  var sjiktet tydelig markert.

Østerelvas vannmasser er derfor utenfor Titan Co's fabrikkområde godt oppblandet med sjøvann, og et eventuelt syreutslipp her vil ikke kreve store fortynninger før skadefirknninger kan være eliminert.

Ut fra kurvene i bilag 6, kan en finne den nødvendige minimale fortynning med vann fra forskjellige dyp som avfallsvannet må ha, om en forlanger at pH skal holde seg over bestemte verdier. Elvevannet er hentet fra st. 26 den 7/8-60.

Tabel 4.

Vann fra dybde:	Fortynning:	Tilsvarende nødvendig vannføring:
pH > 6,5	1 m	1:690      140 m <sup>3</sup> /s
" "	2,5 "	1:615      125 "
" "	4 "	1:420      85 "
" "	8 "	1:170      34 "
<hr/>		
pH > 6,0	1 "	1:370      75 "
" "	2,5 "	1:333      67 "
" "	4 "	1:185      37 "
" "	8 "	1: 85      17 "

Det kan tenkes situasjoner hvor sjøvannet ikke trenger opp i elven. Det vil være betinget av flomartet vannføring i Glomma, slik at fortynningen av avfallsvannet ville bli såvidt stor at skadenvirkninger av den grunn ikke ville oppstå. Undersøkelsene viser at denne situasjon ikke oppstår før vannføringen passerer 900 m<sup>3</sup>/s.

I tabell 14 (s.24) kan en se hvilken pH en får ved forskjellige fortynninger av syntetisk avfallsvann med vann fra 3 og 6 m dybde ved st. 26.

Den kritiske fortynningen fra 6 m dyp ligger mellom 1:100 og 1:50 og for 3 m dyp mellom 1:200 og 1:100, om det forlanges pH > 6,0.

Elver på Østlandet har en pH som naturlig ligger mellom 5,5 og 6. pH lavere enn 5,5 er ikke ønskelig, bl.a. av hensyn til fiskebestanden.

Alkaliniteten (tabellene 10, 11, 12 og 13) for ellevannet er også meget høy. Dette har direkte sammenheng med sjøvannsinnblanding, og viser igjen vannets store evne til å motta syre.

Undersøkelsene viste at ved små vannføringer i Glomma, var saliniteten i ellevannet høyere enn ved store vannføringer.

Ved stasjon 1 og 2 var saliniteten under de tre situasjoner:

Tabell 5.

Vannføring	Salinitet i dybdene:			
	1 m	2 m	3 m	4 m
980 m <sup>3</sup> /s	3,76 %o	4,38 %o	5,10 %o	9,81 %o
674 "	5,24 "	8,00 "	11,34 "	15,84 "
540 "	9,50 "	17,10 "	21,10 "	22,00 "

Vannføringen i Glomma varierer innenfor vide grenser (tabell 2, s. 6). Det minste månedsmiddel som ble målt ved Langnes var for april med 309 m<sup>3</sup>/s. Fortynningen i ellevannet er derfor vesentlig gunstigere enn den kritiske grense, selv med relativt små vannføringer i Glomma.

**Avfallsvannets spesifikke vekt**, 1,01, medfører at dette ikke vil stige rett opp mot overflaten, men holde seg under en viss dybde i elven.

Av samme grunn er det ikke sannsynlig at avfallsvannet vil synke ned i sjøvannsstrømmen og følge med denne oppover. Det er rimelig å anta at avfallsvannet etter fortynningen vil føres ut i fjorden i en dybde som er avhengig av fortynningen, og av salinitetsforandringen med dybden.

#### b. utslipp av jern-II-sulfat.

Toverdige jernjoner vil i omtrent nøytralt miljø spontant oksyderes til toverdige av molekylært oksygen og i denne form hydrolyser og falle ut som jernhydroksyd.

Undersøkelsene av prøver fra stasjon 2 den 10/8-60 viste at vannet helt ned til 5 m dyp hadde en oksygenmetning på over 80% (tabell 10). Selv ved 9 m dyp, like ved bunnen, var metningen ca. 64%. Det var i alle dyp nok oksygen til oksydasjon av jernet. Ellevannet er også normalt nøytralt eller litt på den basiske siden.

I tabell 14 er oksydasjonen og fellingen av Fe(OH)<sub>3</sub> beskrevet som et forhold av tiden. Det er benyttet vann fra Glomma. Dataene viser at variasjonene i pH med tiden er meget små, derimot viser fargen en økning. De første fire timene er økning en forholdsvis liten. På grunn av surhetsgraden er det for-

tynningene 1:1000 og 1:500 som viser størst forskjell, mens oksydasjonen i de øvrige går tregere.

Etter to døgn er fargen økt sterkt i alle fortynninger, unntatt i den sure 1:50 som er omtrent uforandret. Den maksimale fargeøkning er ved fortynning 1:200, slik at det ved fortynning 1:100 ikke har funnet sted en fullstendig oksydasjon etter denne tiden.

Fargen i ellevannet i Glomma (tabell 13 s.23) varierer fra  $65^{\circ}\text{H}$  i overflaten til  $26^{\circ}\text{H}$  i 4 m dybde. Fargeøkningen av fortynningene de fire første timene er derfor relativt små.

Noe av vannet fra stasjon 26, 3 m dyp, ble blandet med syntetisk avfallsvann med slam, i fortynningen 1:100 og 1:200.

Etter 30 timer ble turbiditeten målt. Det ble så tilsett litt koncentrert svovelsyre for å få løst det utfelte jernhydroksyd, og turbiditeten målt igjen.

Fortynning	Turb. etter 30 timer	Turb. etter tilsetn. av $\text{H}_2\text{SO}_4$
1:100	14,0	9,65
1:200	39,5	11,0

Differansen viste også den relative forskjell i utfelling av  $\text{Fe(OH)}$  på de to fortynningene.

Verdiene i tabell 14 viser også at før jernet er oksydert og kan falle ut som hydroksyd, vil avlopsvannet være ført langt ut i fjorden.

#### c. slam.

Avlopsvannet fra bedriften vil ha en mørk farge og en høy turbiditet som hovedsakelig skyldes slammet. Partikkelstørrelsen av slamm er vesentlig fra 0 - 44 mikron og den spesifikke vekt er ca. 2,5. De største partikler vil forholdsvis raskt sedimentere, mens de minste vil holde seg oppslemmet i vannet.

I tabell 15 er turbiditeten satt opp for forskjellige fortynninger av syntetisk avfallsvann, med slam, med vann fra stasjon 26, 3 m dyp

Turbiditetten for små fortynninger som 1:100 og 1:50 er av størrelsesorden 10 mg SiO<sub>2</sub>/l, en verdi som ikke er vesentlig større enn elvevannets turbiditet, ca. 9 mg SiO<sub>2</sub>/l ved overflaten, ca 3 mg SiO<sub>2</sub>/l ved 4 m dyp.

Det samme forhold ser en i tabell 16, hvor turbiditetten for fortynninger fra 1:10 til 1:1000 av syntetisk avfallsvann med springvann er ført opp.

#### SAMMENDRAG.

Avfallsvannet fra den planlagte titandioksydfabrikk representerer en betydelig forurensningsbelastning for en elv.

Problemet ble delt i tre komponenter:

- a. utslipp av syre
- b. utslipp av jern-II-sulfat
- c. resipientens utseende (slam).

I Glommas nedre løp går det, ved vannføringer på opp til 900 m<sup>3</sup>/s, en sjøvannsstrøm oppover langs bunnen. Av den grunn vil elvevannet bli blandet med sjøvann et langt stykke ovenfor utløpet i fjordbassenget.

Svovelsyren er den viktigste komponenten i avfallsvannet. Syren vil ved midlere og lavere vannføring bli nøytralisiert av sjøvannets bikarbonatinnhold. Ved høyere vannføringer vil fortynningen i seg selv være tilstrekkelig til å forhindre ulemper.

Jern-II-sulfat ville oksyderes og felles ut som Fe(OH)<sub>3</sub>. Denne reaksjon tar flere timer, slik at utfellingen ikke gjør seg gjeldende før vannet er ført langt ut i skjærgårdsområdet, og en betydelig blanding med sjøvann har funnet sted.

Slammet. De største partiklene vil i løpet av en kortere tid sedimentere, mens det meste vil holde seg oppslemmet i vannet. På grunn av fortynningen vil økningen av vannets turbiditet bli minimal.

KONKLUSJON.

På grunnlag av de beskrevne undersøkelser, mener vi derfor å ha godt grunnlag for å anta at avfallsvannet ikke vil føre til forandringer i vannmassene som kan volde skade eller ulempe i Glommas nedre løp og det utenforliggende fjordbasseng.

Det vil, både ved lav og høy vannføring, i det hele være vanskelig å påvise forandringer i vannmassene, som med sikkerhet kan tilbakeføres til et slikt utslipp.

Det forutsettes at det blir foretatt en grundig vurdering av selve utslippsmåten og utslippsstedet.

Tabell 6.Prosentvis sjøvannsinnblanding i Glommas nedre løp, 10/8-1960.

m dyp:	Vannføring 890 m <sup>3</sup> /s.				
	St.21	St.23	St.1	St.2	St.3
0	2,9 %	3,5 %	8,5 %	14,1 %	8,5 %
1	2,9	3,9	14,8	19,8	20,9
2	3,1	3,9	17,6	29,8	27,3
3	3,2	7,0	19,7	48,0	46,0
4	3,4	7,3	33,8	53,3	74,2
5	3,6	8,2	59,1	59,1	91,4
6	4,3	8,4	65,6	79,2	100
7	4,5	9,4	85,2	100	
8	5,7	10,0	100		
9	8,6	25,8			
10	18,4	48,0			
11	59,0	96,0			
12	90,2	100			
13	100				
16	100				

Tabell 7.

Fra sentvis sjøvannsinnblanding i Glommas nedre løp.

6/9 - 7/9 - 1960.

Vannføring 674 m<sup>3</sup>/sek.

Meter dyp	St. 21	St. 23	St. 24	St. 25	St. 1	St. 26	St. 2	St. 3	St. 27	St. 4	St. 5
	%	%	%	%	%	%	%	%	%	%	%
0	11,8	12,4	18,4	34,5	36,9	31,6	31,6	29,6	30,8	48,6	36,5
1	11,3	13,8	21,4	37,7	39,7	39,0	43,4	32,0	56,2	51,5	53,1
2	12,4	14,4	23,3	46,4	52,7	48,8	54,5	68,7	61,2	61,5	66,6
3	12,7	17,3	24,4	59,4	60,3	65,7	68,2	78,0	78,4	75,6	83,1
4	13,6	18,1	32,2	70,5	72,9	75,0	71,1	92,1	85,5	81,4	100
5	14,0	21,1	43,1	75,4	79,3	79,2	77,5	100	97,3	97,0	
6	32,2	67,4	74,4	91,2	91,2	90,6	87,4		98,0	100	
7	38,6	82,5	90,6	97,1	100	100			98,8		
8	79,6	95,9	100	100					100		
9	100	98,9									
10		100									

Tabell 8.

Prosentvis sjøvannsinnblanding i Glommas nedre løp.

9/11 - 10/11 1960.

Vannføring: 576 - 540 m<sup>3</sup>/sek.

Meter dyp	St. 21	St. 23	St. 24	St. 25	St. 1	St. 26	St. 2	St. 3	St. 27	St. 4	St. 5
	%	%	%	%	%	%	%	%	%	%	%
0	2,7	5,1	6,4	10,6	4,8	10,6	9,1	4,0	9,3	38,3	27,9
0,5	5,6	5,6	8,0	22,5	6,0	15,2	8,6	6,4	16,0	38,0	32,9
1	5,7	6,4	11,2	24,3	20,3	17,9	20,0	10,3	38,2	39,3	41,3
1,5	6,2	7,2	13,0	27,4	32,9	22,0	30,2	14,4	42,0	44,0	55,2
2	6,2	7,4	13,2	37,1	36,6	32,0	40,0	42,0	49,6	47,6	60,4
2,5	6,6	7,4	13,2	48,8	36,9	44,8	42,4	52,3	34,0	56,8	67,2
3	7,4	8,6	14,0	57,2	46,0	53,6	53,6	51,6	34,8	62,8	78,8
3,5	7,4	10,0	14,9	63,2	53,2	57,6	59,6	56,4	62,4	64,4	83,2
4	8,6	11,2	20,1	72,8	60,4	60,0	62,0	72,4	58,4	66,0	83,2
4,5	8,8	11,4	34,8	76,8	67,6	63,6	63,6	77,6	76,4	76,0	84,4
5	9,0	11,8	46,8	79,2	72,0	63,6	67,6	79,2	80,4	80,0	86,0
5,5	10,2	12,8	59,6	90,4	80,8	64,0	74,4	83,2	85,6	80,4	86,8
6	38,6	14,2	68,0	96,4	90,4	70	84,0	86,3	91,2	86,4	86,4
6,5	53,2	25,8	78,4	97,2	95,2	85,6	93,2	93,2	94,4	86,4	88,8
7	64,0	72,8	90,4	100	100	93,2	96,4	100	98,4	89,2	90,4
7,5	70,8	90,4	97,6			96,4	100		100	91,2	94,4
8	81,2	96,0	100			97,6				94,4	97,6
8,5	91,2	98,4					100			98,8	98,0
9	99,2	100								102	100
9,5	98,6										
10	100										

Tabell 9.Strømhastigheter i Glomma ved stasjon 2.

10/11-1960.

Dybde i meter	Hastighet i m/s
0,1	1,25
0,5	1,15
1,0	0,95
1,5	0,65
2,0	0,49
3,0	0,40
3,5	0,27
3,6	0,11
3,8	0,05
4,0	0
4,1	0
4,2	0
4,5	0
4,7	0,04
4,8	0,06
4,9	0,11
5,0	0,25
5,5	0,31
6,0	0,32
6,5	0,33
7,0	0,23
7,5	0,29
8,0	0,23
8,5	0,17
9,0	0,17
9,5	0,15
9,6	Bunn

Tabell 10.

Stasjon 2., 9/8 og 10/8 1960. Vannføring 925 og 980 m<sup>3</sup>/sek.

m dyp	Ledn. $\chi_{20}^o \cdot 10^{-5}$	Salinitet i ‰	Turbiditet mg SiO <sub>2</sub> /l	Oksygen % metn.	pH	Alkalinitet ml N/10 HCl/l
0	425	2,58	4,54	-	7,1	3,96
0,5	-	-	-	-	-	-
1	603	3,76	7,22	92,3	7,2	4,76
1,5	-	-	-	-	-	-
2	686	4,38	5,94	98,0	7,4	5,29
2,5	727	4,62	7,22	97,5	7,3	5,27
3	799	5,10	6,45	93,7	7,3	5,68
3,5	-	-	-	-	-	-
4	1290	9,81	5,81	91,3	7,6	8,60
4,5	-	-	-	-	-	-
5	1685	11,04	5,56	84,8	7,7	9,66
5,5	-	-	-	-	-	-
6	1895	12,64	3,02	83,7	7,7	10,80
6,5	-	-	-	-	-	-
7	2695	18,95	4,80	74,9	7,9	14,70
7,5	-	-	-	-	-	-
8	3550	27,20	3,02	73,5	8,0	20,45
9	4040	30,03	3,02	64,4	8,0	22,00

Tabell 11.

Stasjon 1, 7/9-1960. Vannføring  $674 \text{ m}^3/\text{sek.}$ 

m dyp	Ledn. $\chi_{20}^{evne} \cdot 10^{-5}$	Salinitet i ‰	pH	Alkalinitet ml N/10 HCl/1	T
0	375	2,15	7,1	3,71	14,7
0,5	-	-	-	-	-
1	845	5,24	7,4	5,79	14,7
1,5	-	-	-	-	-
2	1270	8,0	7,6	7,59	14,85
2,5	--	-	-	-	-
3	1790	11,34	7,7	9,70	15,1
3,5	-	-	-	-	-
4	2340	15,84	7,9	12,80	15,3
4,5	2720	18,44	7,9	14,40	-
5	2280	15,55	7,8	12,80	15,5
5,5	2630	17,78	8,0	13,70	-
6	2880	18,77	8,0	14,80	15,7
6,5	3120	21,24	8,0	16,40	1
7	3460	24,21	8,0	18,22	15,85
7,5	-	-	-	-	-
8	4130	30,03	7,9	22,00	15,9

Tabel 12.Stasjon 26, 7/9-1960. Vannføring 674 m<sup>3</sup>/s.

m dyp	Ledn. $\eta_{20}^o \cdot 10^{-5}$	Salinitet i ‰	pH	Alkalinitet ml N/10 HCl/l	T
0	1260	8,02	7,3	7,36	14,6
0,5	-	-	-	-	-
1	1300	8,24	7,4	7,96	14,65
1,5	-	-	-	-	-
2	1530	9,71	7,6	8,83	14,9
2,5	1930	12,63	7,8	11,02	-
3	2360	15,98	7,9	12,87	15,2
3,5	2560	17,51	8,0	14,18	-
4	2560	17,45	8,0	14,00	15,25
4,5	2580	17,78	8,0	14,26	-
5	2680	18,21	8,0	14,40	15,5
5,5	2680	18,42	7,9	14,53	-
6	3170	22,48	8,0	17,18	15,9
6,5	4110	30,13	8,0	22,5	-
7	4130	30,43	8,0	22,6	15,9
7,5	-	-	-	-	-
8	4160	30,44	8,0	22,8	15,9
8,5	-	-	-	-	-
9	4200	30,42	8,0	22,8	15,9

Tabell 13.

Stasjon 2, 10/11-1960. Vannføring 540 m<sup>3</sup>/sek.

m dyp	pH	Ledn. % $_{20}^{\circ}$ evne $\cdot 10^5$	Farge mg Pt/l	Turbiditet mg SiO <sub>2</sub> /l	Alkalinitet ml N/10 HCl/l	Salinitet i ‰
0	7,0	6608	65	7,8	5,18	5,33
0,5	-	-	-	-	-	-
1	7,2	1230	45	9,0	7,90	9,50
1,5	-	-	-	-	-	-
2	7,5	2260	49	5,6	12,81	17,10
2,5	-	-	-	-	-	-
3	7,6	2720	39	4,3	14,98	21,10
3,5	7,7	2920	33	2,4	16,32	21,90
4	7,7	2940	26	3,2	16,82	22,00
4,3	7,8	3230	24	2,3	17,88	23,50
4,5	-	-	-	-	-	-
4,7	7,8	3500	24	2,2	18,80	26,00
5	7,9	3870	8	0,8	22,10	30,70
6	7,9	4470	5	1,1	24,65	33,25
7	7,9	4470	5	0,9	25,00	35,60

TABELL 14.

Vann fra Stasjon 26 blandet med syntetisk avfallsvann uten slam.

		2000								
		Henstand	Målt	Glommavann ublandet	1:1000	Fortynninger:				
		6 m dyp	0 timer	pH	7,8	7,4	7,2	6,7	6,2	4,0
			2 døgn	"	7,8	7,35	7,1	6,6	6,1	3,8
			0 timer	Farge	10,6	34,8	40,5	40,5	45,8	49,8
			4 "	"	10,6	81,8	103	45,8	42,5	45,8
			2 døgn	"	10,6	103,1	214	502	331	55,1
		3 m dyp	0 timer	pH	7,9	7,4	6,9	6,5	5,7	3,4
			2 døgn	"	7,8	7,3	6,8	6,3	5,4	3,3
			0 timer	Farge	45,8	52,8	61,6	63,2	64,9	65,1
			4 "	"	43,5	72,5	79,0	65,3	63,2	63,2
			2 døgn	"	45,8	100	217	520	320	64,9

TABELL 15.

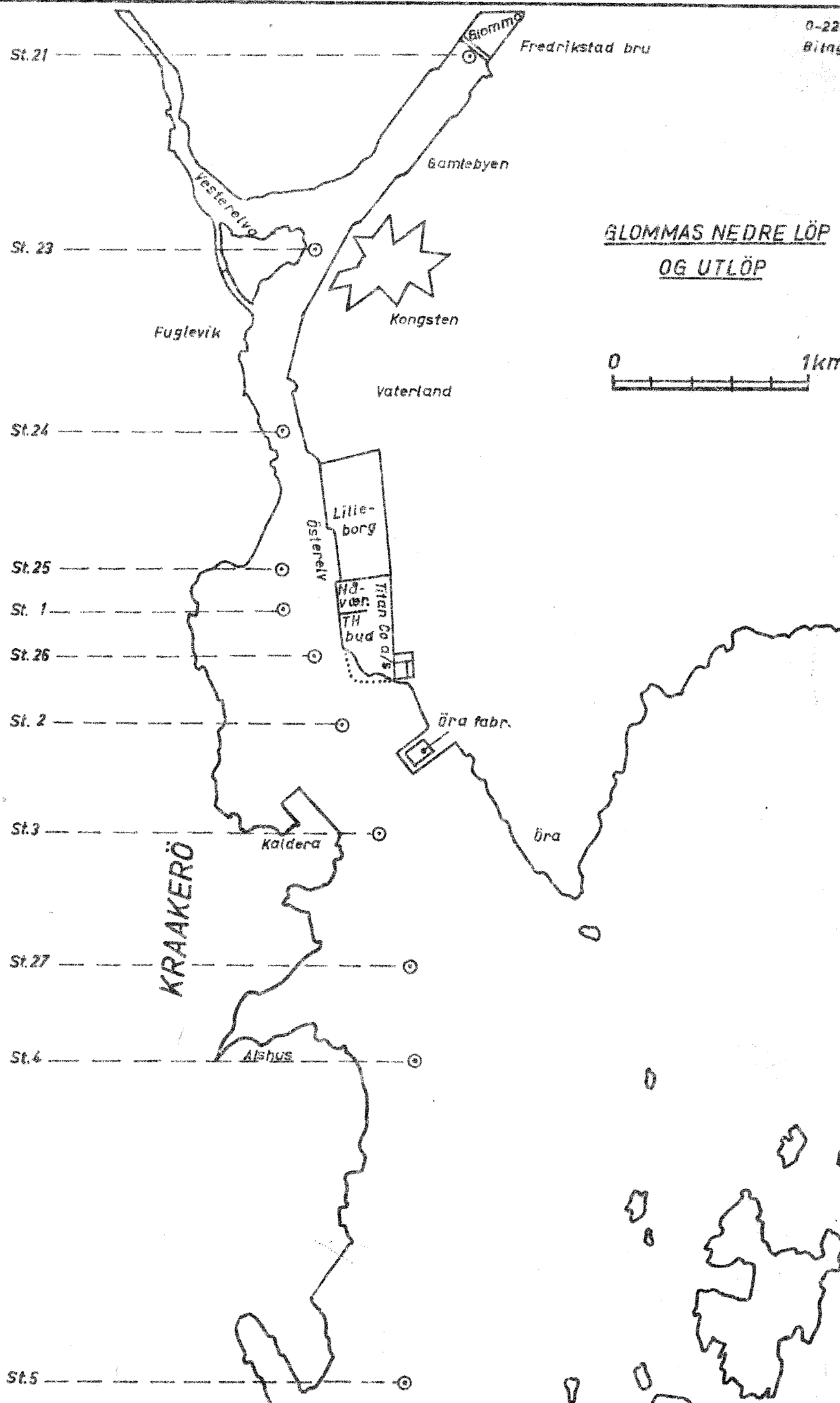
Vann fra stasjon 26 blandet med syntetisk avfallsvann med slam.

3 m dyp	Ubländet	1:100	1:50	1:20
Turbiditet mg SiO <sub>2</sub> /l	0,30	9,6	12,0	24,0

TABELL 16.

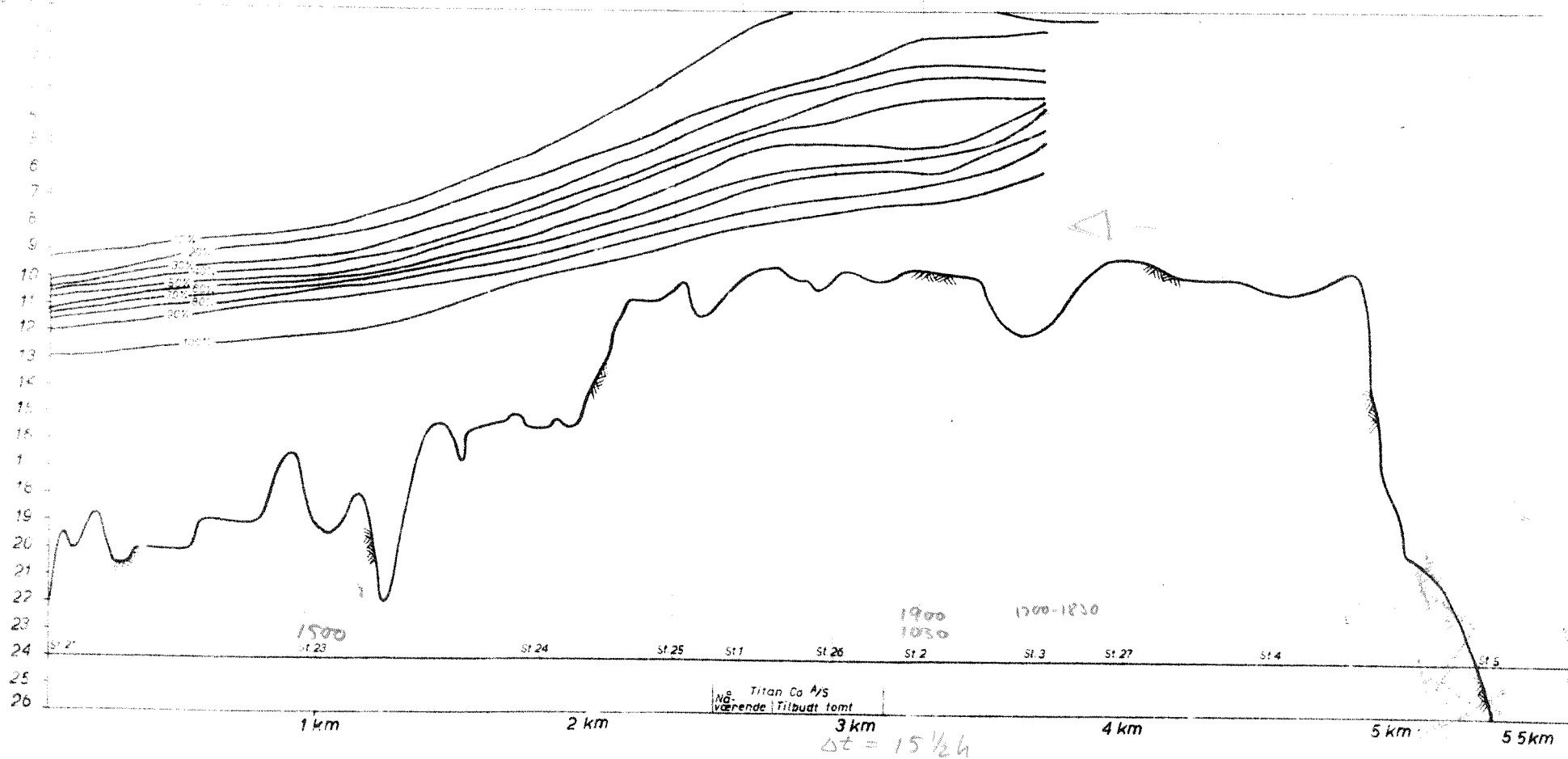
Syntetisk avfallsvann blandet med springvann.

	1:1000	1:500	1:200	1:100	1:50	1:20	1:10
Turbiditet mg SiO <sub>2</sub> /l	1,22	1,64	3,02	7,09	12,5	25	60



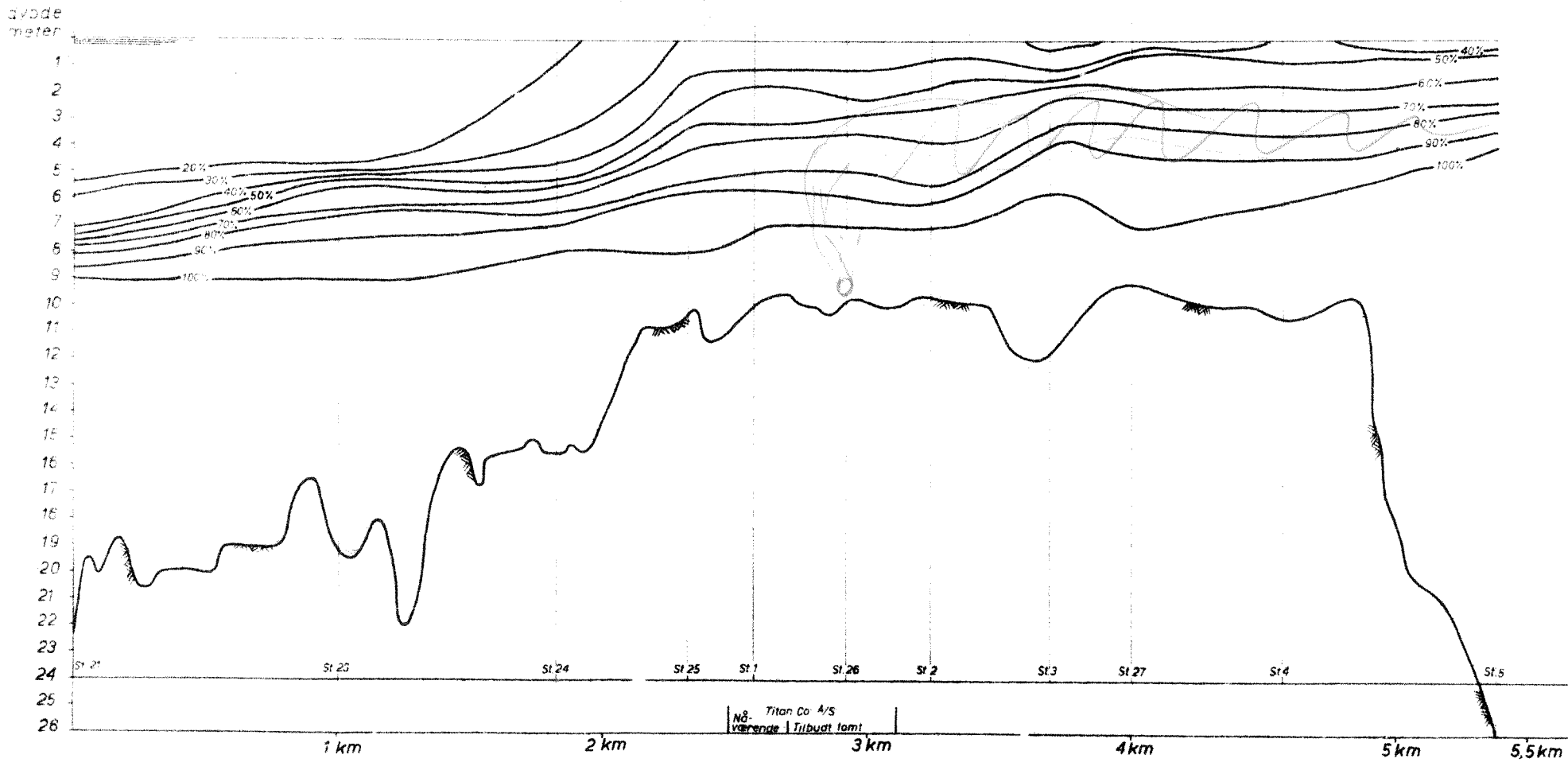
Prosentvis sjövannsinnblandning i Glommans nedre lopp 9/8 - 10/8 - 1960.

Här regnes 100% sjövatt - saltinnehåll 30%. Vattenförflytting ca 900 m<sup>3</sup>/s



Prosentvis sjøvannsinnblanding i Glommas nedre løp 6/9-7/9-1960.

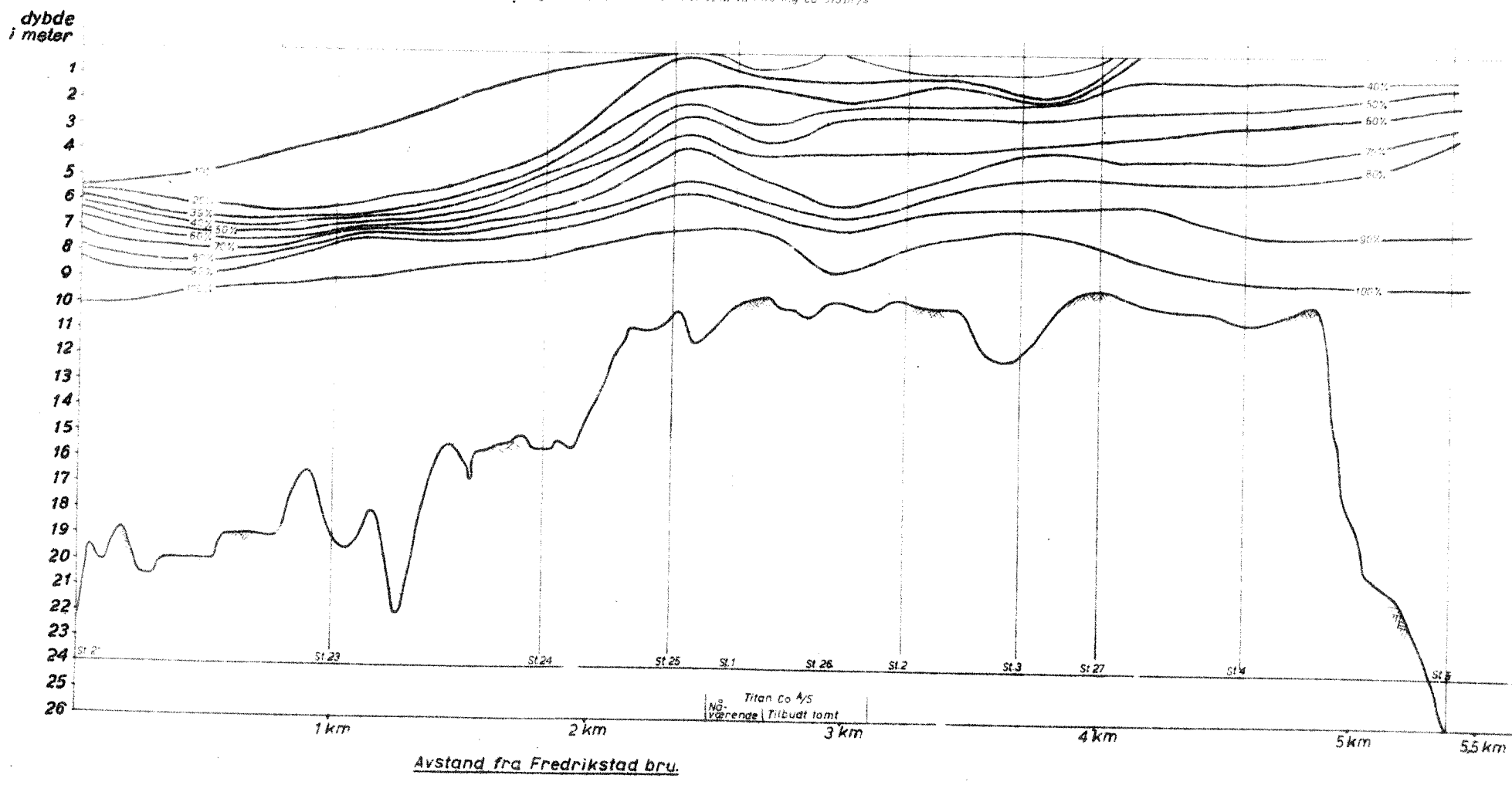
Her regnes 100% sjøvann + salinitet 30%. Vannføring 674 m<sup>3</sup>/s.



Avstand fra Fredrikstad bru.

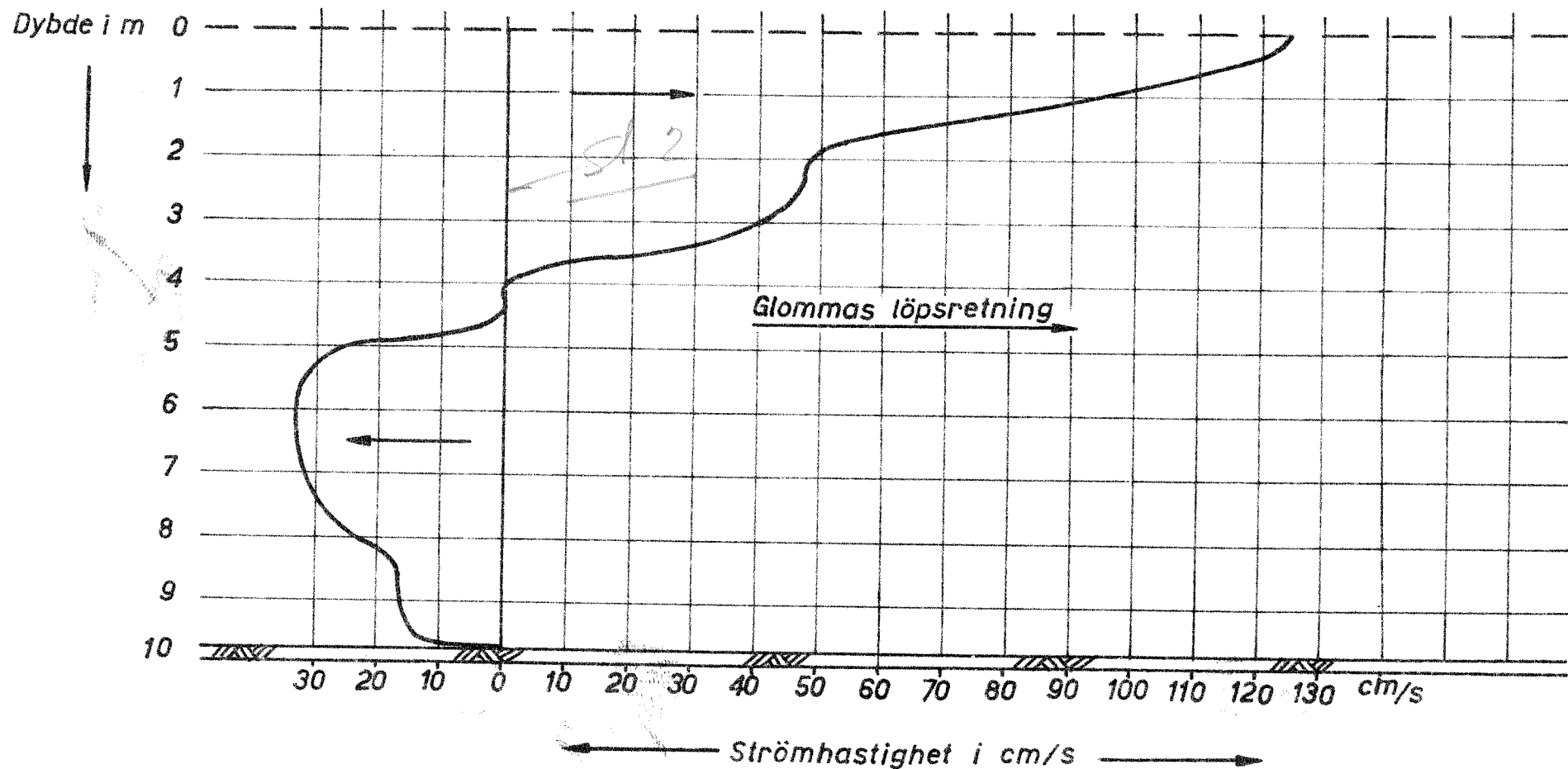
Prosentvis sjövannsinnblandning i Glommas nedre lop 9/11 - 10/11 - 1960.

Här regnes 100% sjövann : saltvatten 30%, Vattenföring ca 575 m<sup>3</sup>/s



*Ström hastighet i Glomma ved st. 2* 10/11-1960.

Målt med flügel. Vannföring  $540 \text{ m}^3/\text{s}$ .



0-22°

Titrerkurve for vann fra Glomma.

pH som funksjon av antall ml  $\frac{N}{10}$  HCl tilsatt pr. liter.

St. 2 9/8-1960. 1, 2½, 4 og 8 m dybde.

